工作機械用サーボ弁の解析と特性

The Analysis and Characteristics of a Servo-Valve for Machine Tool Service

大島康次郎*
Yasujiro Oshima

金 井 昌 Masahiko Kanai

彦**

内 容 梗 概

油圧サーボモータは電気的サーボモータに比べて,応答特性のすぐれていることはよく知られている。最近サーボ機構の高性能化への欲求が高まりつつあるが、そのためにはパワー要素に油圧サーボモータを採用すれば好ましい結果が得られると考えられる。サーボ機構の構成にあたつてはその偏差検出、信号増幅、さらに特性補償には電気的または電子的手段を用いるのが一般的であるから、ここに電気-油圧変換要素としてサーボ弁が必要になる。本報告は筆者らが試作した油圧平衡方式のサーボ弁についてその理論的解析ならびに現在までに行つた性能実験によつて得られたその特性若干を記述するものである。

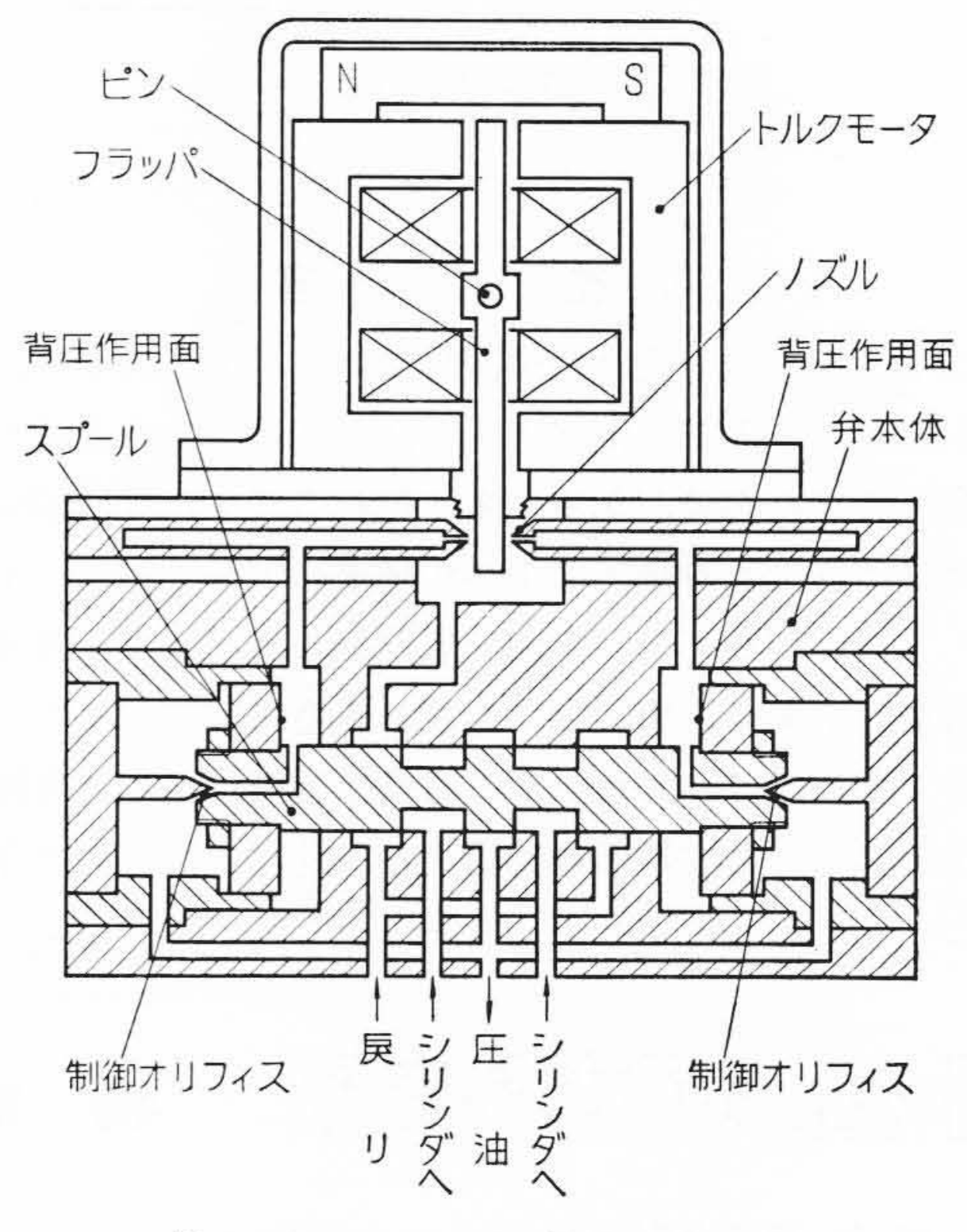
1. 緒 言

最近サーボ機構のめざましい発展に伴つてサーボ弁が とみに注目を集めるようになつた。これは微弱な電気的 入力によつて高圧油の流量を変化し、パワーの大きい油 圧サーボモータを駆動するサーボ機構の要素であるが, その応答のきわめて速応的なのが特長である。また油圧 サーボモータは電気的サーボモータに比べてトルク慣性 比が大きいため、すぐれた応答特性をもつから、これと ともにサーボ弁を用いれば速応的なサーボ機構が構成で きる。ゆえに工作機械のならい制御や数値制御において これを利用することはきわめて妥当であるといえよう。 筆者らは東京大学生産技術研究所において油圧平衡方式 を用いたサーボ弁を考案し、その試作を行つていたが、 機械試験所と日立製作所川崎工場との協同による工作機 械の数値制御に関する研究において、パワーサーボに油 圧方式を採用することになつたので, 試作段階であつた がこのサーボ弁を応用した。現在なおその特性について の実験を継続中であり、また実用化に際して改良すべき

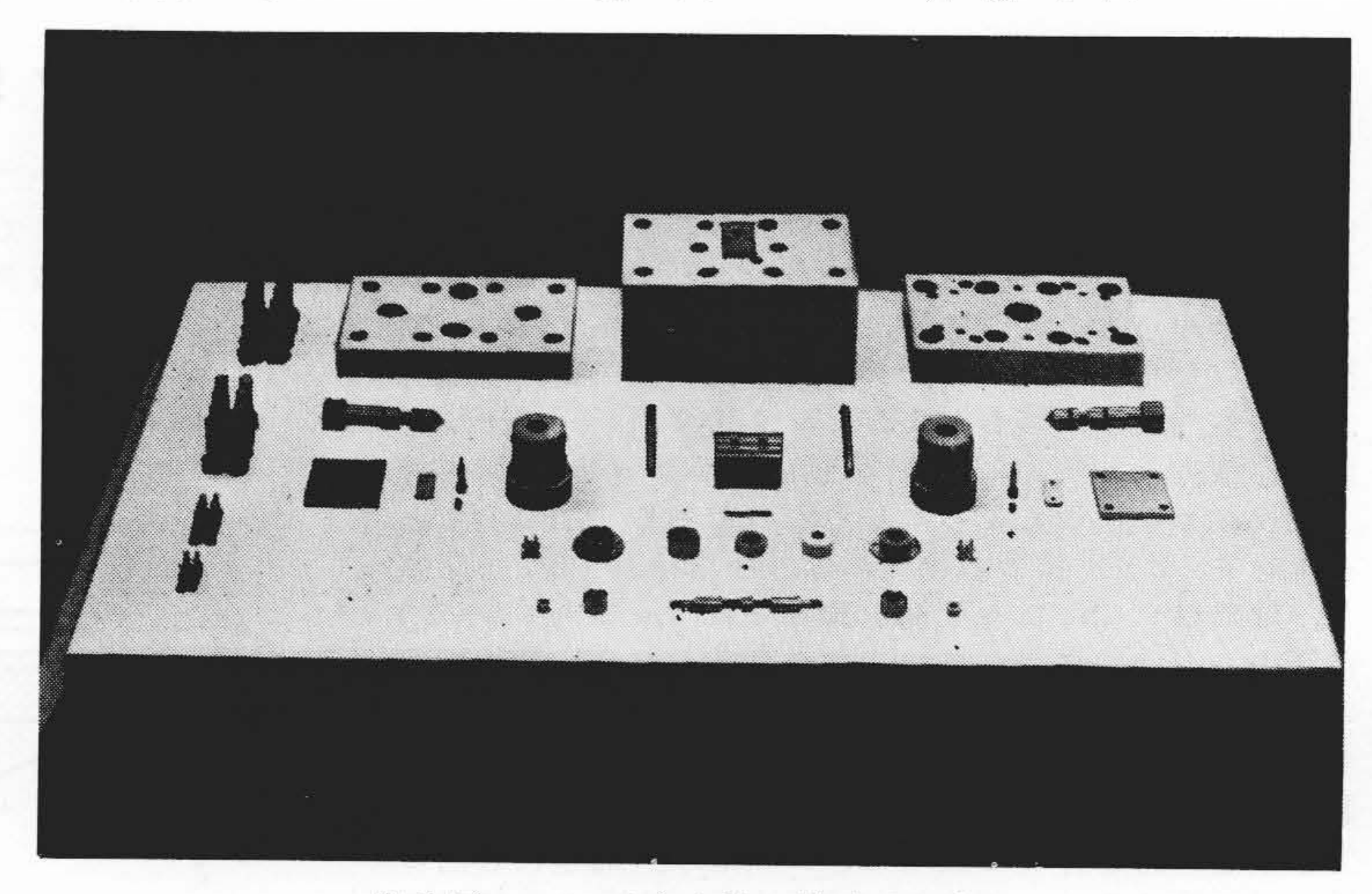
点が残されているが、中間的にこれについての理論的解析、構造、原理、および今までに得られた特性についての実験結果若干を報告することにする。

2. サーボ弁の構造と原理(1)

サーボ弁の構造についてその概略を 第1図に示す。トルクモータはフラッパをピンで支持し、バネ作用をピンにもたせた構造をとつている。制御オリフィスは弁本体固定の円錐状突起と、スプール端面に設けた円錐孔とによって形成している。

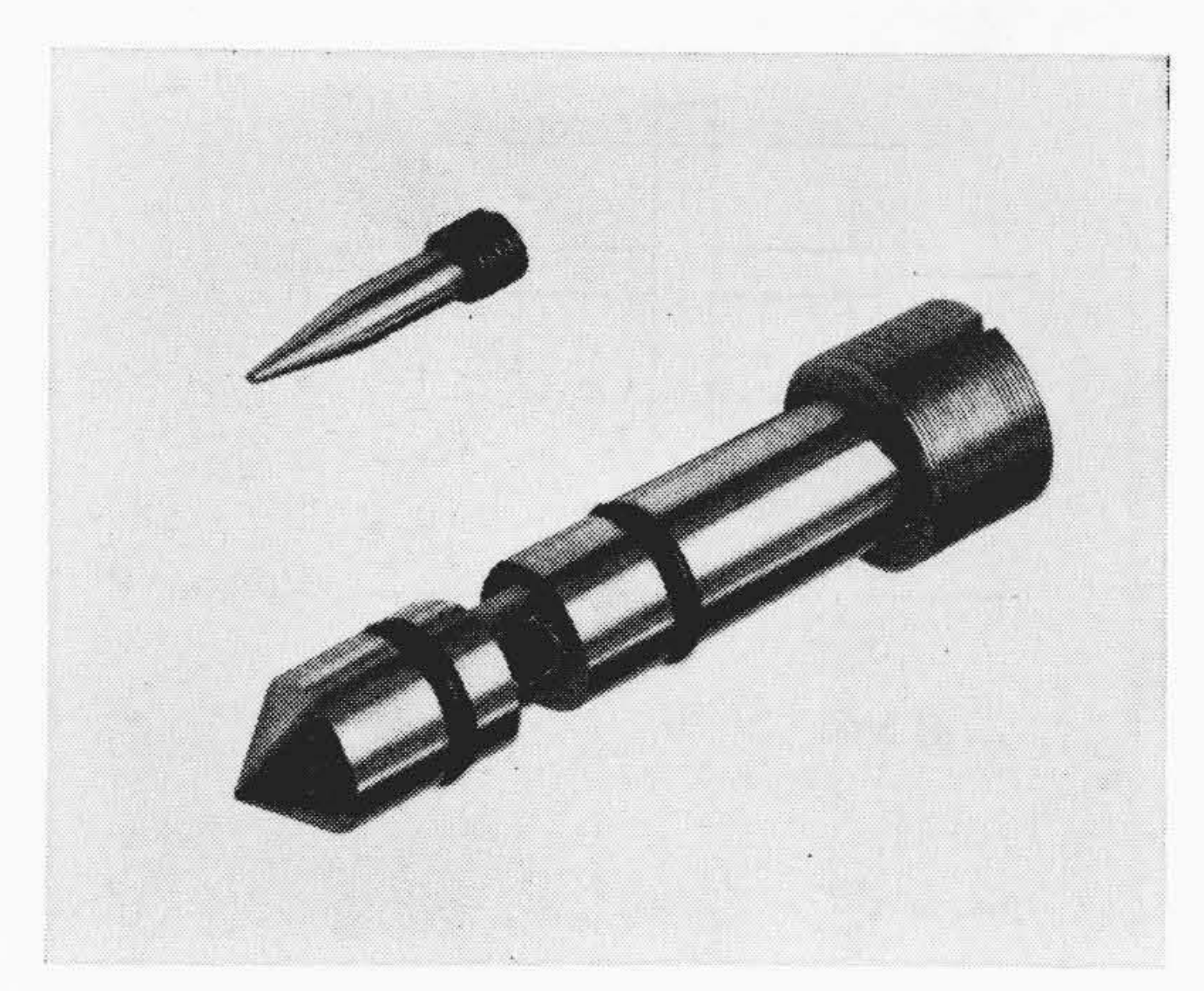


第1図 サーボ弁概略図



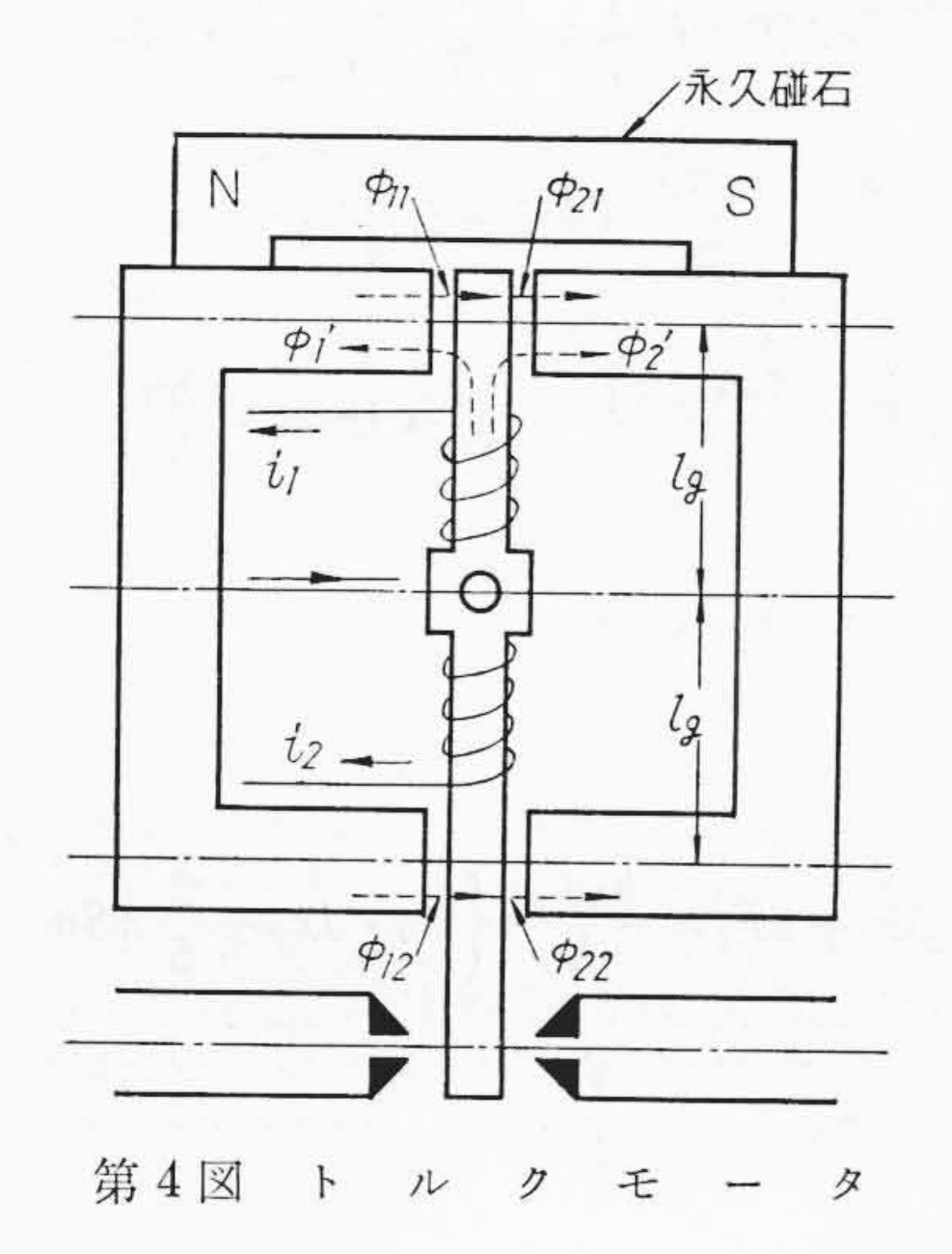
第2図 サーボ弁本体を構成する部品

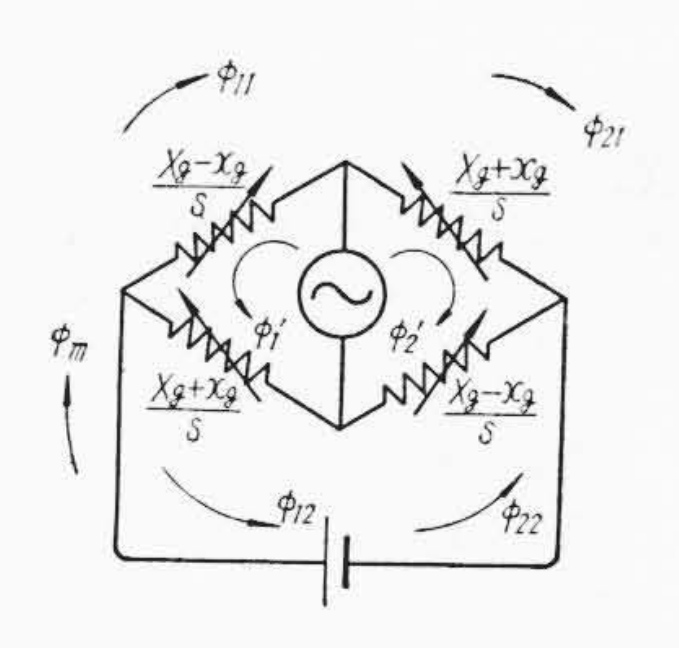
^{*} 東京大学生産技術研究所 工博 ** 日立製作所川崎工場



第3図 ノズルと制御オリフィス円錐状突起

このサーボ弁の動作原理は次のとおりである。サーボ 増幅器からの電気的入力がトルクモータのコイルに加え られる。コイルは二つあつて差動的になつているのでこ れに流れる電流の差に応じた磁束を生じ, これが永久磁 石の磁束と作用しあつて磁極空隙部に磁気力を生じる。 その結果フラッパはこの力によるねじりモーメントとフ ラッパをささえるピンのねじれによるモーメントと釣合 う位置まで動かされることになる。それによつて向い合 つたノズルの間隙が左右で相違するからその背圧変化に よつてスプール両端の背圧作用面に作用する油圧が相違 し,この不平衡力によつてスプールは動かされる。圧油 は制御オリフィスおよびスプール内部の通路を通り, ノ ズルに導かれるようになつており、背圧作用面について 油圧が平衡する位置でスプールは静止する。したがつて 電気的入力に対してスプールの位置すなわち操作シリン ダへいく圧油の流量が管制されることになる。第2図に





第5図 電気的等価回路

サーボ弁本体を構成する部品を,第3図にノズルと制御 オリフィスの円錐状突起を示す。

3. サーボ弁の理論的解析

試作サーボ弁についてその設計の基礎となつた理論的 解析を以下に記述する。なお簡単化のため油の圧縮性お よび質量,油圧回路の漏洩,スプールの摩擦,管路の流 体摩擦、弁ポートにおける油の流動による力などはすべ て無視する。

3.1 トルクモータのコイル電流,磁気的吸引力,お よびフラッパの動き

第4図と以下に記すように記号を定める。第5図はト ルクモータの電気的等価回路である。

ni1: コイル1のアンペアターン

ni2: コイル2のアンペアターン

φm: 永久磁石による空隙部磁束の総和 (maxwell)

 $\phi_{ab}\binom{a=1.2}{b=1.2}$: 永久磁石による 各空隙部の磁東 (maxwell) ϕ_{1}' : コイル起磁力による左側空隙部磁東 (maxwell)

 ϕ_2' : コイル起磁力による右側空隙部磁束 (maxwell)

F₁: 上部左側と下部右側における磁極吸引力(kg)

上部右側と下部左側における磁極吸引力(kg)

 X_g : 空隙部の長さ(片側)(cm)

x₉: 空隙部におけるフラッパの動き(cm)

S: 空隙部における磁極面積(cm²)

まず磁極空隙部において永久磁石による磁束と起磁力 とについて次式が導かれる。

$$\phi_{11} + \phi_{12} = \phi_{21} + \phi_{22} = \phi_m \dots (1)$$

$$\phi_{11} = \phi_{22} \dots (2)$$

$$\phi_{21} = \phi_{12} \dots (3)$$

$$\frac{X_g - x_g}{S} \cdot \phi_{11} = \frac{X_g + x_g}{S} \cdot \phi_{12}$$

すなわち

$$(X_g - x_g) \phi_{11} = (X_g + x_g) \phi_{12} \dots (4)$$

同様に

$$(X_g + x_g) \phi_{21} = (X_g - x_g) \phi_{22} \dots (5)$$

(4) 式から

$$\phi_{12} = \frac{X_g - x_g}{X_g + x_g} \cdot \phi_{11} \dots (6)$$

これを(1)式に代入して

$$\phi_{11}\left\{1+\frac{X_g-x_g}{X_g+x_g}\right\}=\phi_m$$

すなわち

$$\phi_{11} \cdot \frac{2X_q}{X_q + x_q} = \phi_m$$

これと(2)式とから

$$\phi_{11} = \phi_{22} = \frac{X_q + x_g}{2X_q} \cdot \phi_m \dots (7)$$

これを ϕ_1 とおく。同様にして(1),(5)両式から,

$$\phi_{21}\left\{1+\frac{X_q+x_q}{X_g-x_g}\right\}=\phi_m$$

が得られるから,

$$\phi_{21} = \phi_{12} = \frac{X_g - x_q}{2X_q} \cdot \phi_m \dots (8)$$

が**導**かれる。これを ϕ_2 とおく。

次に磁極空隙部においてコイル起磁力による磁束は次 のようにかかれる。

$$\phi_{1}' = \frac{4\pi}{10} \cdot \frac{n(i_{1} - i_{2})}{\frac{X_{g} - x_{g}}{S} + \frac{X_{g} + x_{g}}{S}}$$

$$= \frac{\pi Sn}{5X_{g}} \cdot (i_{1} - i_{2})$$

$$\phi_{2}' = \frac{4\pi}{10} \cdot \frac{n(i_{1} - i_{2})}{\frac{X_{g} + x_{g}}{S} + \frac{X_{g} - x_{g}}{S}}$$

$$= \frac{\pi Sn}{5X_{g}} \cdot (i_{1} - i_{2})$$

$$= \frac{\pi Sn}{5X_{g}} \cdot (i_{1} - i_{2})$$

 $\phi_1' = \phi_2' = \phi'$ とおく。

磁極空隙部における磁束による吸引力は

$$F_1 = k_{\phi}(\phi_1 + \phi')^2 \dots (10)$$

$$F_2 = k_{\phi} (\phi_2 - \phi')^2 \dots (11)$$

$$k_{\phi} = \frac{1}{8\pi S} \cdot \frac{1}{980 \times 10^3} = \frac{1.02}{8\pi S}$$

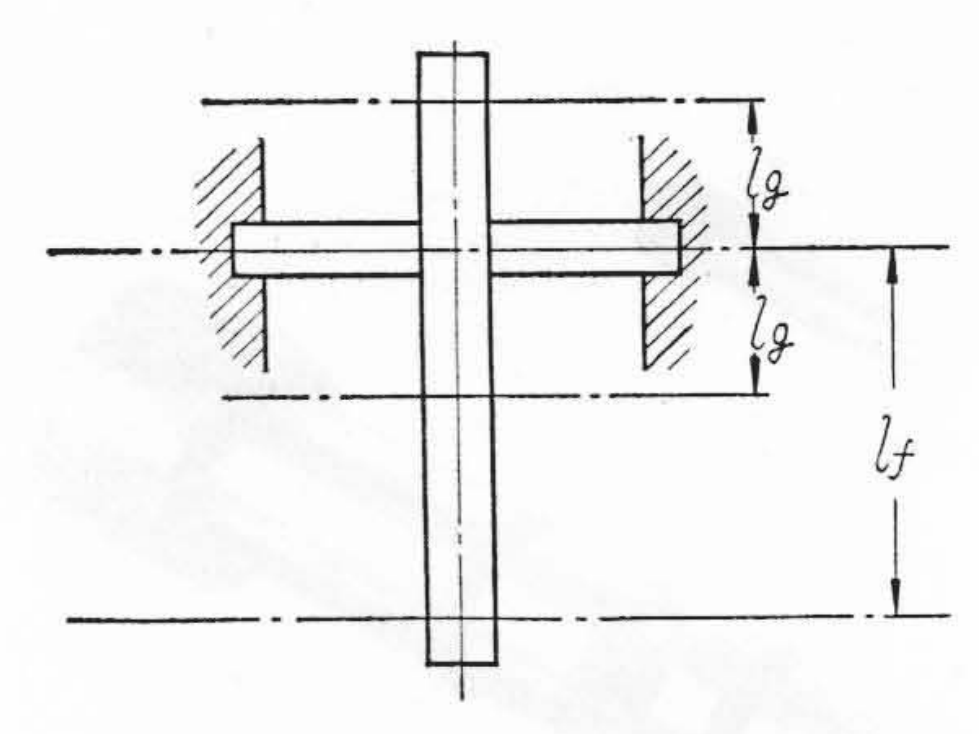
 $\times 10^{-6}$ kg/maxwell².....(12)

(10), (11) 両式から,

$$\Delta F_1 = 2k_{\phi}(\phi_{1i} + \phi_{i'}) \left(\Delta \phi_1 + \Delta \phi'\right) \dots (13)$$

ここに添字のiは初期条件をあらわす。

また(7),(8),(9)の各式から,



第6図フラッパとピン

$$\Delta \phi_1 = \frac{\phi_m}{2} \cdot \frac{\Delta x_q}{X_q} \quad \dots \tag{15}$$

$$\Delta \phi_2 = -\frac{\phi_m}{2} \cdot \frac{\Delta x_g}{X_g} \quad \dots \tag{16}$$

$$\Delta \phi' = \frac{\pi Sn}{5X_a} \bullet \Delta (i_1 - i_2) \quad \dots (17)$$

さらに

$$\phi_{1i} = \frac{\phi_m}{2} \left(1 + \frac{x_{gi}}{X_g} \right) \dots (18)$$

$$\phi_{2i} = \frac{\phi_m}{2} \left(1 - \frac{x_{gi}}{X_g} \right) \dots (19)$$

初期条件として $x_{gi}=0$, $\phi_i'=0$ とすれば(18),(19)両式は

$$\phi_{1i} = \phi_{2i} = \frac{\phi_m}{2} \dots (20)$$

(12), (15), (16), (17), (20) の各式から(13), (14)両式 はそれぞれ

$$\Delta F_1 = 2k_{\phi} \cdot \frac{\phi_m}{2} \left\{ \frac{\phi_m}{2} \cdot \frac{\Delta x_g}{X_g} + \frac{\pi Sn}{5X_g} \right.$$

$$\cdot \Delta (i_1 - i_2) \right\} = \frac{k_{\phi} \cdot \phi_m}{X_g} \left\{ \frac{\phi_m}{2} \cdot \Delta x_g \right.$$

$$+ \frac{\pi Sn}{5} \cdot \Delta (i_1 - i_2) \right\}$$

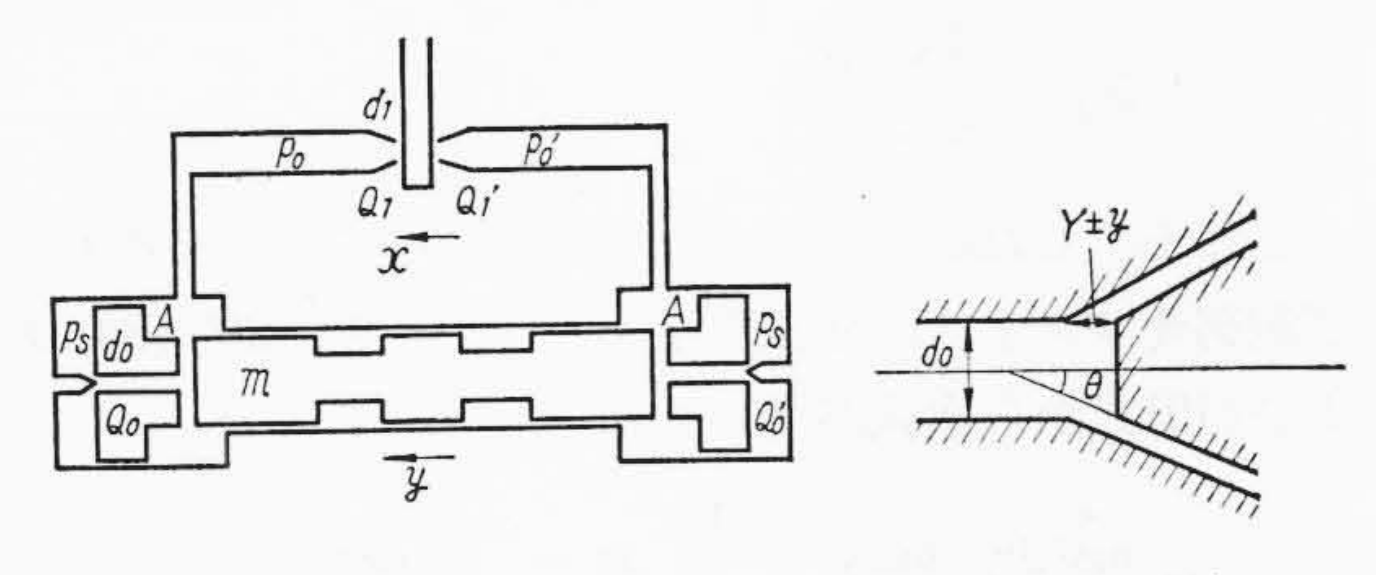
$$\Delta F_2 = \frac{k_{\phi} \cdot \phi_m}{X_g} \left\{ -\frac{\phi_m}{2} \cdot \Delta x_g - \frac{\pi Sn}{5} \right.$$

$$\cdot \Delta (i_1 - i_2) \right\}$$

ゆえに

$$\Delta F_1 - \Delta F_2 = \frac{k_{\phi}\phi_m}{X_g} \left\{ \phi_m \cdot \Delta x_g + \frac{2}{5} \pi Sn \right\}$$

$$\cdot \Delta (i_1 - i_2) \right\} \dots (21)$$



制御オリフィス詳細

第7図 油圧回路原理図

3.2 トルクモータのコイル電流に対するフラッパ の応答

フラッパを支持するピンについてトルクの釣合いから 次の運動方程式が成立する。

$$\frac{J}{l_g} \frac{d^2 x_g}{dt^2} + \frac{b_f}{l_g} \frac{dx}{dt} + \frac{k_P}{l_g} \cdot x_g$$

$$= 2l_g (F_1 - F_2) \dots (22)$$

ここに b_I はフラッパの粘性抵抗係数, J と k_P はそれぞれピンの軸線周りの慣性能率およびピンのバネ定数, l_g はピンの軸線から磁極空隙部中心までの距離をあらわす。(22)式より s=d/dt として,

$$\frac{J}{l_g} s^2 \Delta x g + \frac{b_f}{l_g} s \Delta x_g + \frac{k_P}{l_g} \Delta x_g$$

$$= 2l_g (\Delta F_1 - \Delta F_2) \dots (23)$$

これを(21)式に代入して $(\Delta F_1 - \Delta F_2)$ を消去すれば,

$$\left(\frac{J}{2l_g^2}s^2 + \frac{b_f}{2l_g^2}s + \frac{k_P X_g - 2k_{\phi}\phi_m^2 l_g^2}{2X_g l_g^2}\right)$$

$$\bullet \Delta x_g = \frac{2}{5} \frac{\pi k_{\phi}\phi_m Sn}{X_g} \bullet \Delta(i_1 - i_2) \dots (24)$$

またノズル部分におけるフラッパの動きをx, ピンの軸線からノズルまでの距離を l_f とすると $x_g = (l_g/l_f)x$ であるから(24)式は次のようにかかれる。

$$\left(\frac{J}{2l_g l_f} s^2 + \frac{b_f}{2l_g l_f} s + \frac{k_P X_g - 2k_\phi \phi_m^2 l_g^2}{2x_g l_g l_f}\right)$$

$$\Delta x = \frac{2}{5} \frac{\pi k_{\phi} \phi_m Sn}{X_g} \cdot \Delta(i_1 - i_2) \dots (25)$$

3.3 フラッパの動きに対する弁スプールの応答 第7図および以下に示すように記号を定める。

ps: 供給油圧 (kg/cm²)

p₀,p₀': 左右のノズル背圧 (kg/cm²)

X: 中立位置におけるノズル・フラッパの間隙 (cm)

x: ノズル部分におけるフラッパの動き (cm)

ρ: 油の密度 (kg•s²/cm⁴)

 d_1 : ノズルの直径 (cm^2)

 d_0 : スプール内部の通路の直径 (cm)

α1: ノズル・フラッパ部分の流量係数

α0: 制御オリフィスの流量係数

θ: 制御, オリフィス部分のスプール端面に設け た円錐孔および弁本体固定の円錐状突起の軸 線となす角度 (rad)

 Q_0,Q_0' : 左右の制御、オリフィス部分における流量 (cm^3/s)

 Q_1,Q_1' : 左右のノズル・フラッパ部分における流量 (cm^3/s)

Y: スプールの片側のストローク (cm)

y: スプールの動き (cm)

A: スプールの背圧作用面の面積 (cm²)

f,f': スプール左右の背圧作用面に作用する油圧の力 (kg)

m: スプールの質量 (kg·s²/cm)

b: スプールの粘性抵抗係数 $(kg \cdot s/cm)$ 油圧回路について次の諸式が成立する。

$$Q_0 = \alpha_0 \pi d_0 \sin \theta (Y - y) \sqrt{\frac{2}{\rho} (p_s - p_0)} \dots (26)$$

$$Q_0' = \alpha_0 \pi d_0 \sin \theta (Y+y) \sqrt{\frac{2}{\rho} (p_s - p_0') \dots (26')}$$

$$Q_1 = \alpha_1 \pi d_1 (X - x) \sqrt{\frac{2}{\rho} p_0} \dots (27)$$

$$Q_1' = \alpha_1 \pi d_1 (X + x) \sqrt{\frac{2}{a} p_0'} \dots (27')$$

$$Q_0 = Q_1 + Asy....$$
 (28)

$$Q_0' = Q_1' - Asy...$$
 (28')

$$f = Ap_0$$
 (29)

$$f' = Ap_0' \dots (29')$$

 $ms^2y + bsy = f - f' \dots (30)$

$$\frac{\Delta Q_0}{Q_{0i}} = \frac{-\Delta y}{Y - y_i} + \frac{1}{2} \cdot \frac{-\Delta p_0}{p_s - p_{0i}} \dots (31)$$

$$\frac{\Delta Q_1}{Q_{1i}} = \frac{-\Delta x}{X - x_i} + \frac{1}{2} \cdot \frac{\Delta p_0}{p_{0i}} \dots (32)$$

さらに(28)式より

$$\Delta Q_0 = \Delta Q_1 + As \Delta y \dots (33)$$

(31), (32), (33)式より

$$Q_{0i}\left(\frac{-\Delta y}{Y-y_i} + \frac{1}{2} \cdot \frac{-\Delta p_0}{p_s - p_{0i}}\right)$$

$$= Q_{1i}\left(\frac{-\Delta x}{X-x_i} + \frac{1}{2} \cdot \frac{\Delta p_0}{p_{0i}}\right) + As\Delta y.....(34)$$

同様に

$$Q_{0i'} \left(\frac{\Delta y}{Y + y_i} + \frac{1}{2} \frac{-\Delta p_{0'}}{p_s - p_{0i'}} \right)$$

$$= Q_{1i'} \left(\frac{\Delta x}{X + x_i} + \frac{1}{2} \cdot \frac{\Delta p_{0'}}{p_{0i'}} \right) - As\Delta y \dots (35)$$

初期条件として

$$Q_{0i} = Q_{0i}' = Q_{1i} = Q_{1i}' = Q_i \ p_{0i} = p_{0i}' = p_i \ x_i = y_i = 0$$

とすれば(34),(35)両式から

$$\Delta p_{0} - \Delta p_{0}' = \frac{4}{\frac{1}{p_{i}} + \frac{1}{ps - p_{i}}} \cdot \frac{\Delta x}{X}$$

$$-\frac{4}{\frac{1}{p_{i}} + \frac{1}{ps - p_{i}}} \cdot \frac{\Delta y}{Y} - \frac{4A}{\frac{1}{p_{i}} + \frac{1}{ps - p_{i}}}$$

$$\frac{1}{Q_{i}} \cdot s\Delta y \dots (36)$$

また

$$\alpha_0 \pi d_0 Y \sin \theta \sqrt{\frac{2}{\rho} (p_s - p_i)} = \alpha_1 \pi d_1 X \sqrt{\frac{2}{\rho} p_i}$$

より

$$p_i = \frac{p_s}{1 + \left(\frac{\alpha_1 d_1 X}{\alpha_0 d_0 Y \sin \theta}\right)^2} \dots (37)$$

したがつて

また(27),(38)両式より

$$\frac{4A}{\frac{1}{p_i} + \frac{1}{p_s - p_i}} \cdot \frac{1}{Q_i}$$

$$= \frac{4A\alpha_1 d_1 X \sqrt{\frac{Sp_s}{2}}}{\pi (\alpha_0 d_0 Y \sin \theta)^2 \left\{ 1 + \left(\frac{\alpha_1 d_1 X}{\alpha_0 d_0 Y \sin \theta}\right)^2 \right\}^{3/2}}$$

$$= k_{sy} \dots (39)$$

ゆえに(36)式は次のようにかかれる。

$$\Delta p_o - \Delta p_o' = k_{xy} \frac{\Delta x}{X} - k_{xy} \frac{\Delta y}{Y} - k_{xy} \frac{\Delta y}{Y} - k_{xy} \frac{\Delta y}{Y} \tag{40}$$

また(38)式より $\alpha_1 d_1 X/\alpha_0 d_0 Y \sin \theta = 1$ のとき k_{xy} は 最大値をとり

$$k_{xy} = p_s$$

でそのとき k_{sy} は

$$k_{sy} = \frac{A\sqrt{\rho p_s}}{\pi \alpha_1 d_1 X}$$

となる。したがつてこのようにノズルフラッパ部および制御オリフィスの寸法を定めれば, (29), (29') (30) および(40)式から次式が得られる。

$$ms^2 \Delta y + bs \Delta y = \frac{Ap_s}{X} \Delta x - \frac{Ap_s}{Y} \cdot \Delta y$$

$$-\frac{A^2 \sqrt{\rho p_s}}{\pi \alpha_1 d_1 X} \cdot s \cdot \Delta y$$

すなわち

$$\left\{ ms^{2} + \left(b + \frac{A^{2}\sqrt{\rho p_{s}}}{\pi \alpha_{1}d_{1}X} \right) s + \frac{Ap_{s}}{Y} \right\} \Delta y$$

$$= \frac{Ap_{s}}{X} \cdot \Delta x \dots (41)$$

3.4 トルクモータコイル電流に対する弁スプール の応答

(25)式および(41)式から Δx を消去して両式をまとめれば、コイル電流に対する弁スプールの動きの関係式が得られる。

$$\left\{ ms^{2} + \left(b + \frac{A_{2}\sqrt{\rho p_{s}}}{\pi \alpha_{1}d_{1}X}\right) s + \frac{Ap_{s}}{Y} \right\} \Delta y$$

$$= \frac{\frac{2}{5} \frac{\pi k_{\phi} \phi_{m} p_{s} SAn}{X_{g} \cdot X} \cdot \Delta (i_{1} - i_{2})}{\left(\frac{J}{2l_{g}l_{f}} s^{2} + \frac{b_{f}}{2l_{g}l_{f}} s + \frac{k_{P} X_{g} - 2k_{\phi} \phi_{m}^{2} l_{g}^{2}}{2x_{g}l_{g}l_{f}}\right)$$
......(42)

これは s についての 4 次式であるが、フラッパの慣性 および粘性抵抗を無視すれば次のように 2 次形要素とし て表わされる。

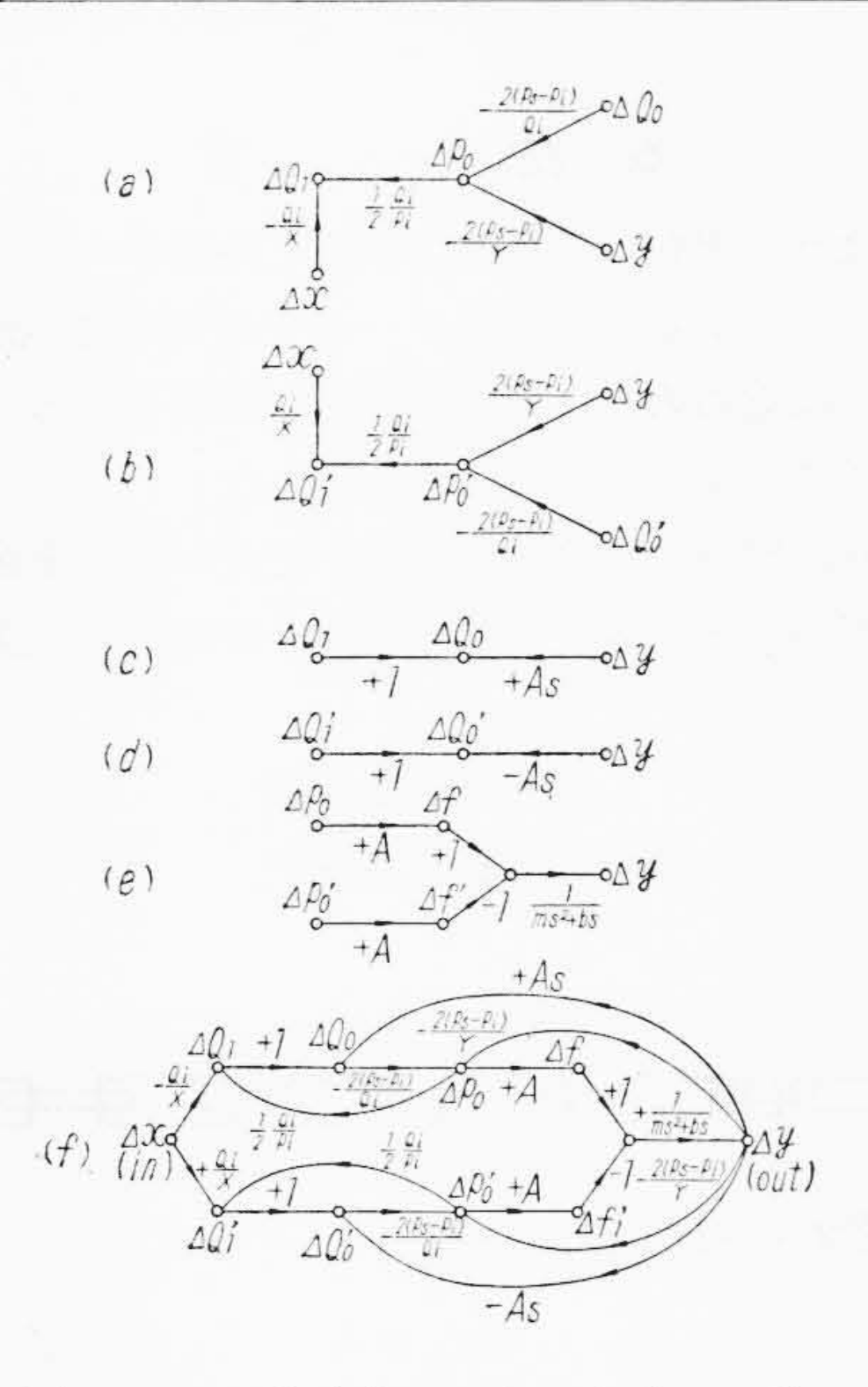
$$\left\{ ms^{2} + \left(b + \frac{A^{2}\sqrt{\rho p_{s}}}{\pi \alpha_{1}d_{1}X}\right)s + \frac{Ap_{s}}{Y} \right\} \Delta y$$

$$= \frac{4}{5} \cdot \frac{\pi k_{\phi}\phi_{m}p_{s}SAl_{q}l_{f}n}{k_{p}X_{g} - 2k_{\phi}\phi_{m}^{2}l_{g}^{2}} \cdot \Delta(i_{1} - i_{2}) \dots (43)$$

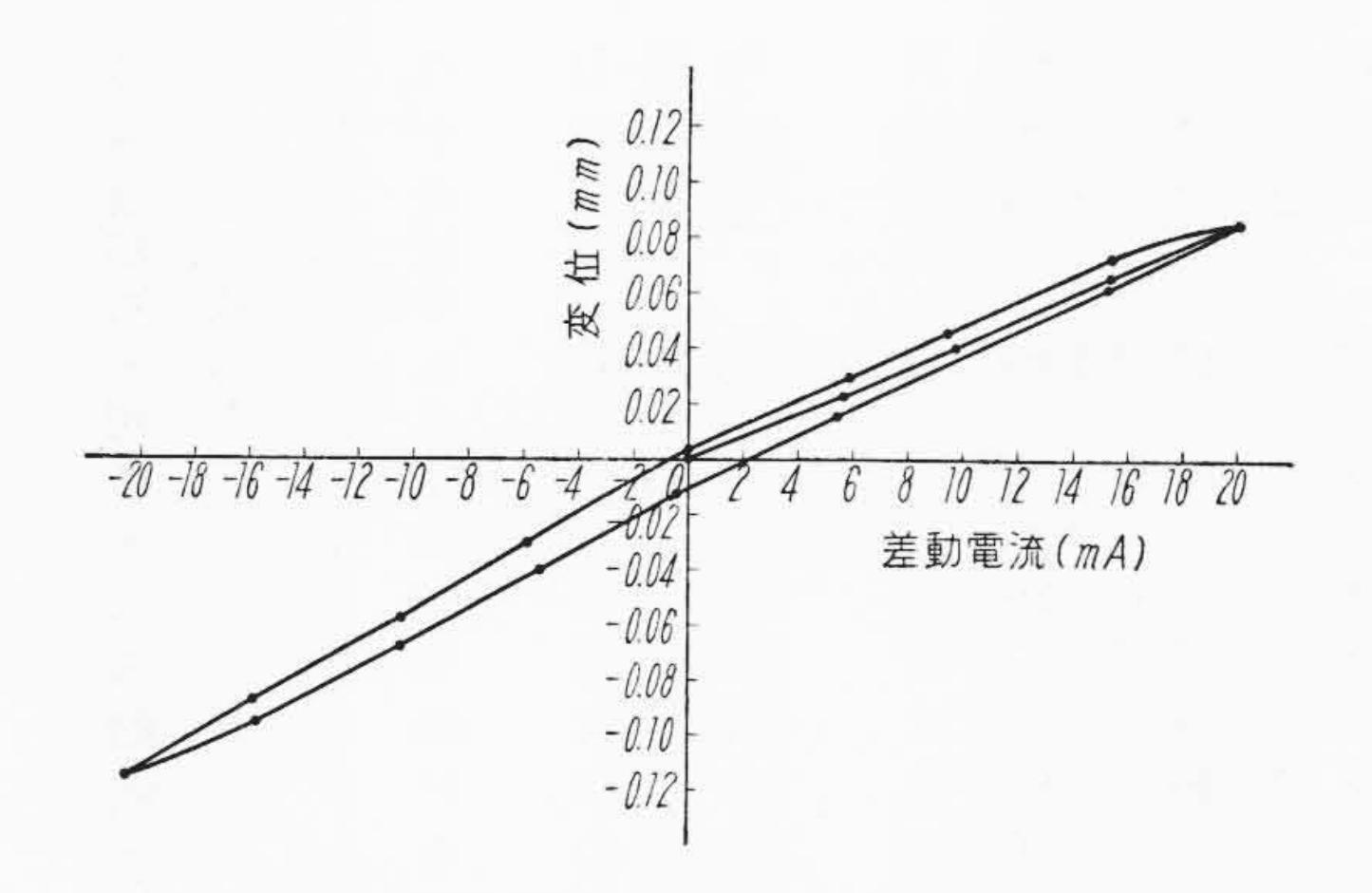
3.5 各変量間の動的関係

サーボ弁内の各変量間の関係については前節までに方程式であらわされ、トルクモータについてはさらに第5 図にその動作原理を明らかにしたが、弁本体について各変量間の力学的な結びつきを signal flow diagram で示せば次のとおりになる。

同様に



第8図 サーボ弁本体の signal flow diagram



第9図 差動電流フラッパ変位特性曲線

また

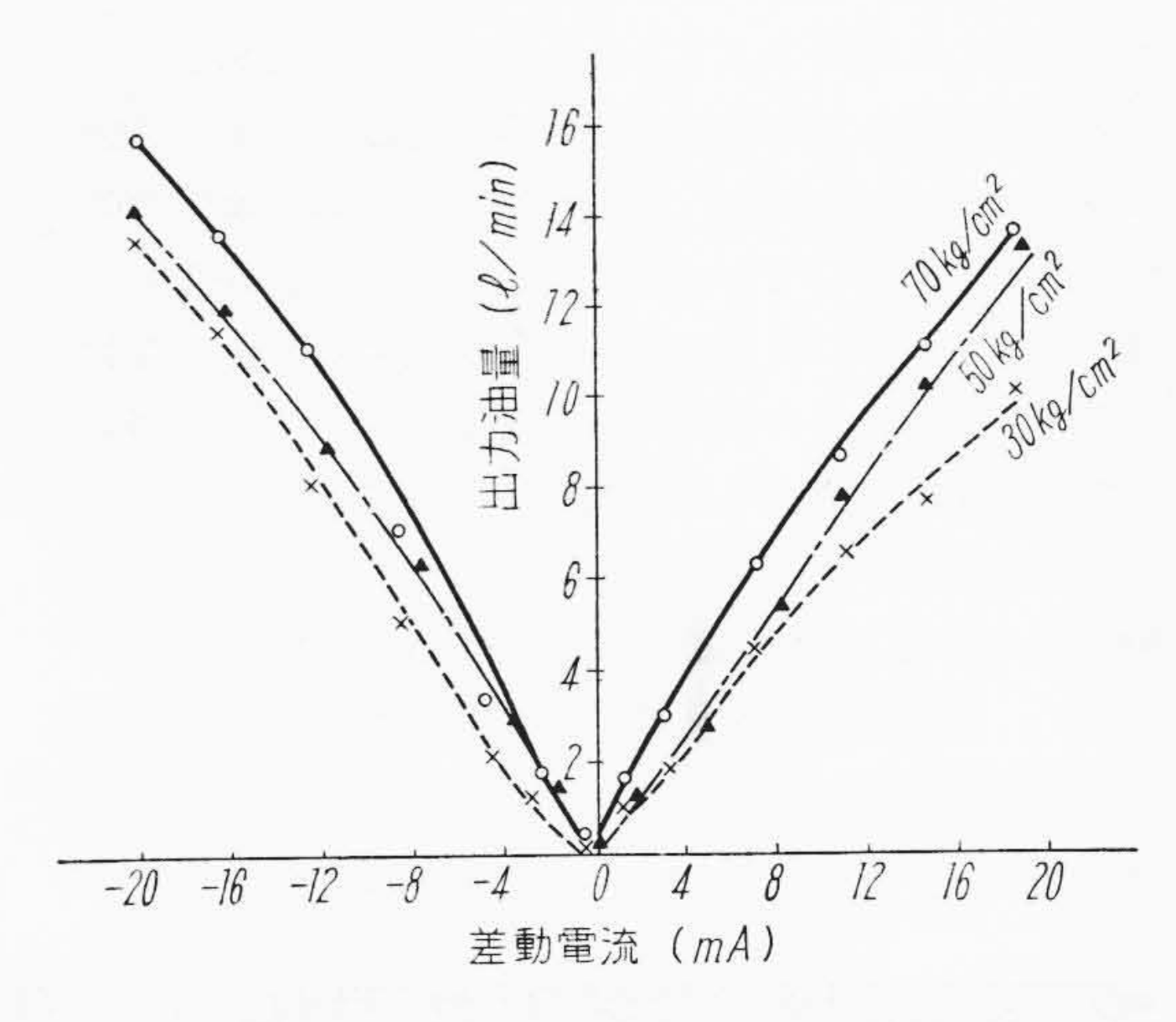
 $\Delta Q_0 = \Delta Q_1 + As\Delta y \dots (33)$

$$\Delta f = A \Delta p_0 \dots (46)$$

$$\Delta f' = A \Delta p_0' \dots (46')$$

$$(ms^2 + bs) \Delta y = \Delta f - \Delta f' \qquad (47)$$

(44), (45) 式の関係は第8図(a)に, (44'), (45') 式の関係は(b)に, (33), (33') 式についてはそれぞ



第10図 サーボ弁の静特性

れ (c), (d) に, (46), (46), (47) 式の関係は (e) 図に示す。 (a) から (e) までの各図を結合すればフラッパの動き Δx を入力とし, スプールの動き Δy を出力とする弁本体の中を流れる信号の有様は明らかとなり, (f) 図のようになる。

4. トルクモータの特性

トルクモータは中心電流を 10 mA, 最大差動電流を 20mA に定めている。磁極空隙部における磁気吸引力は 1~2 kg になるように設計したのでノズルからの噴流に よつてフラッパが影響を受けるおそれはない。トルクモ ータの特性について最も注意すべき点は磁気回路におけ るヒステリシスの問題である。ヒステリシスが大きいと 制御系の性能を著しく害するから磁性材料の選択および フラッパの支持方法に特に配慮が必要になる。制御系の 設計にあたつてはトルクモータの特性は記述函数であら わし、安定判別を行つてゲインの大きさを決める必要が ある。第9図は実験の結果得られた差動電流―フラッパ 変位特性曲線である。このようにヒステリシスが5%位 であれば使用条件がさほど厳しくない限り, 問題となら ない。次にトルクモータの動的特性としてフラッパの固 有振動数の大きさが重要であるが,実験の結果は 400 c/s である。サーボ弁に要求される折点周波数の大きさが 100 c/s 前後であることを考えると、上の数字はトルク モータが十分な帯域幅をもつていることを示している。

5. サーボ弁の静特性

サーボ弁の静特性はトルクモータ入力である差動電流に対する出力油量の関係であらわされる。出力油量は弁スプールの動きに対応する弁ポートの開きで与えられるから、(42) 式においてs=0とおいて得られる静的関

係に比例した特性としてあらわされるわけである。この 実験の結果得られた特性曲線を 第10 図に示す。実験は 供給油圧が 70 kg/cm², 50 kg/cm², 30 kg/cm² の3と おりの場合について行つた。これによれば直線性および 対称性はおおむね良好であることが認められる。なお信 号電流が ±2 mA の範囲内で不感帯の生ずるのを認めたので Dither と称する交流電圧をこれに重畳し,スプールに微小振動を与えてこれを取り去つている。周波数は 100 c/s である。また油温の変化による障害はあらわれていない。重要な定常状態特性として最大吐出流量および 供給油圧を決定しなければならないが,これは制御系の特性を考慮しながら適当した数値を選定するのである。

6. 結 言

以上はサーボ弁の基礎的な解析と性能の一部を明らかにしたものであるが、今後サーボ弁の実用化が進むとともにさらに立ち入つた研究を進め、信頼しうる設計資料を提供できるようにしなければならない。

おわりに実験の際終始御協力いただいた工業技術院機械試験所の左治木課長はじめ関係各位に深く感謝の意を表する。

参考文献

(1) 大島: 自動制御 4,3 (1957)

最近の日立製作所社員の工作機械に関する社外寄稿一覧 (その1)

日本機械学会誌 MAPI の設備更新方式 設備投資の経済計算	59 60	10.254	444 461	7.20	54 659		(昭	行年月 31-1) 32-6)	村 村	執 川 川	筆 武 武	当 雄 雄
マ シ ナ リ ー 設備工作機械の老朽化とその対策	16	卷	7 -	号	681	頁	(昭	28-7)	花	尚		浩
ホブ盤の修理更生について	16	卷	8	号	802	100 N	17.80	28-8)	小	Ш	īE.	典
高精度平削り作業	17	卷			727		100000000000000000000000000000000000000	29-8)	花松	岡本美		浩 欠郎 司
高速送り旋削の実用化	17	卷	11	号 1	1,052	頁	(昭	29-11)	岩八	瀬木	泰研	人司
親マシンとしての中ぐり盤	18	卷	1 -	号	24	頁	(昭	30-1)	葛鈴	上木		防光
トランスファー型専用工作機による電動機の製作	F 18	卷	3 -	号	203	頁	(昭	30-3)	中	村	昌	夫
工作機械精度の経年推移について	18	卷	7	号	629	頁	(昭	30-7)	安	藤	恒	夫
平削盤の精度規格と精度管理について (1)	18	卷	9	号	828	頁	(昭	30-9)	हिन्	武	芳	輔
平削盤の精度規格と精度管理について (2)	18	卷	10	号	862	頁	(昭	30-10)	Sul	武	芳	輔
歯車の精度と運転性能 (1)	19	卷	4 -	号	309	頁	(昭	31-4)	明	Ш	IE.	元
歯車の精度と運転性能 (2)	19	卷	5	号	436	頁	(昭	31-5)	明歌	川	正正	元博
平削盤の油圧駆動	19	卷	5	号	423	頁	(昭	31-5)	松片	本桐	源》真	
歯車の精度と運転性能 (3)	19	卷	7	号	649	頁	(昭	31-7)	明歌	Щ Л1	正正	元博
数値制御ミーリングマシン	19	卷	11	号 1	1,096	頁	(昭)	31-11)	岡	部	礼	\equiv
マグネチック・クラッチ	20	卷			29		CART 257 LITTLE	32-1)	松	倉	寿	
最近のフライス盤	20	卷			809			32-6)	花	岡	(10.00)	浩
新しい工具材料とその熱処理 機 械 技 術	20	卷	8	号 1	1,073	頁	375	32-8)	1/5	柴	定	雄
現有工作機械の高速度化	1	巻	$6 \pm$	号	1	頁	(昭	28-12)	葛	Ł		昉
超硬カッターの性能		卷		750	18		As house	29–3)	13	左美部	武礼	司三
プレーナ作業の能率化ミリングユニット	2	卷	4 +	号	16	頁	(昭)	29-4)	藤栗	原原	健之忠	
倣いフライス加工	2	卷	9 +	号	12	頁	(昭	29-9)	花	岡生美	武久	浩司雄
現在工作機械の自動化・倣いバイパス	3	巻	3 +	号	10	頁	(昭	30-3)	松	本	源设	
歯切ホブの精度規格	3	卷	4 5	号	56	頁	(昭	30-4)	森	田	_	弘
工作機械の据付法		巻			1		3 -50	30-5)	安	藤	恒	夫
										D 0	0	